

# *COLAPSO DE VOLTAJE*

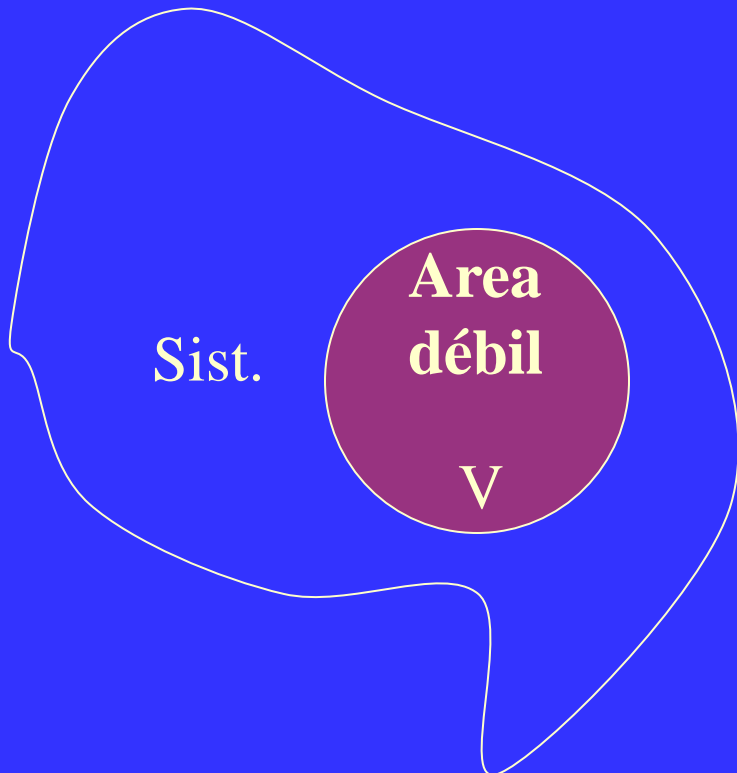
Luis Vargas D.

Departamento de Ingeniería Eléctrica  
Universidad de Chile

# *INTRODUCCION*

- Colapso de Voltaje. Problema Actual en el Mundo y en Chile
- Sistema Chileno: Estructura Radial, Consumos a grandes distancias, demanda creciente  $\Leftrightarrow$  Existen escenarios probables
- Problema Dinámico  $\Leftrightarrow$  Soluciones complejas (no intuitivas)

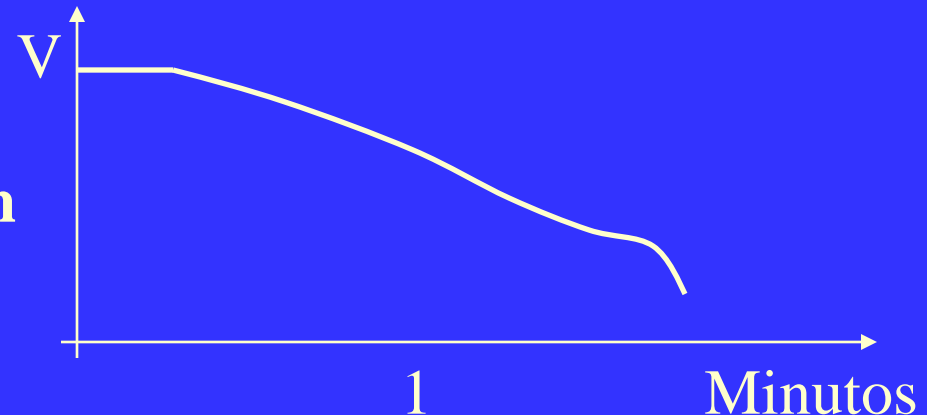
# 1 Introducción



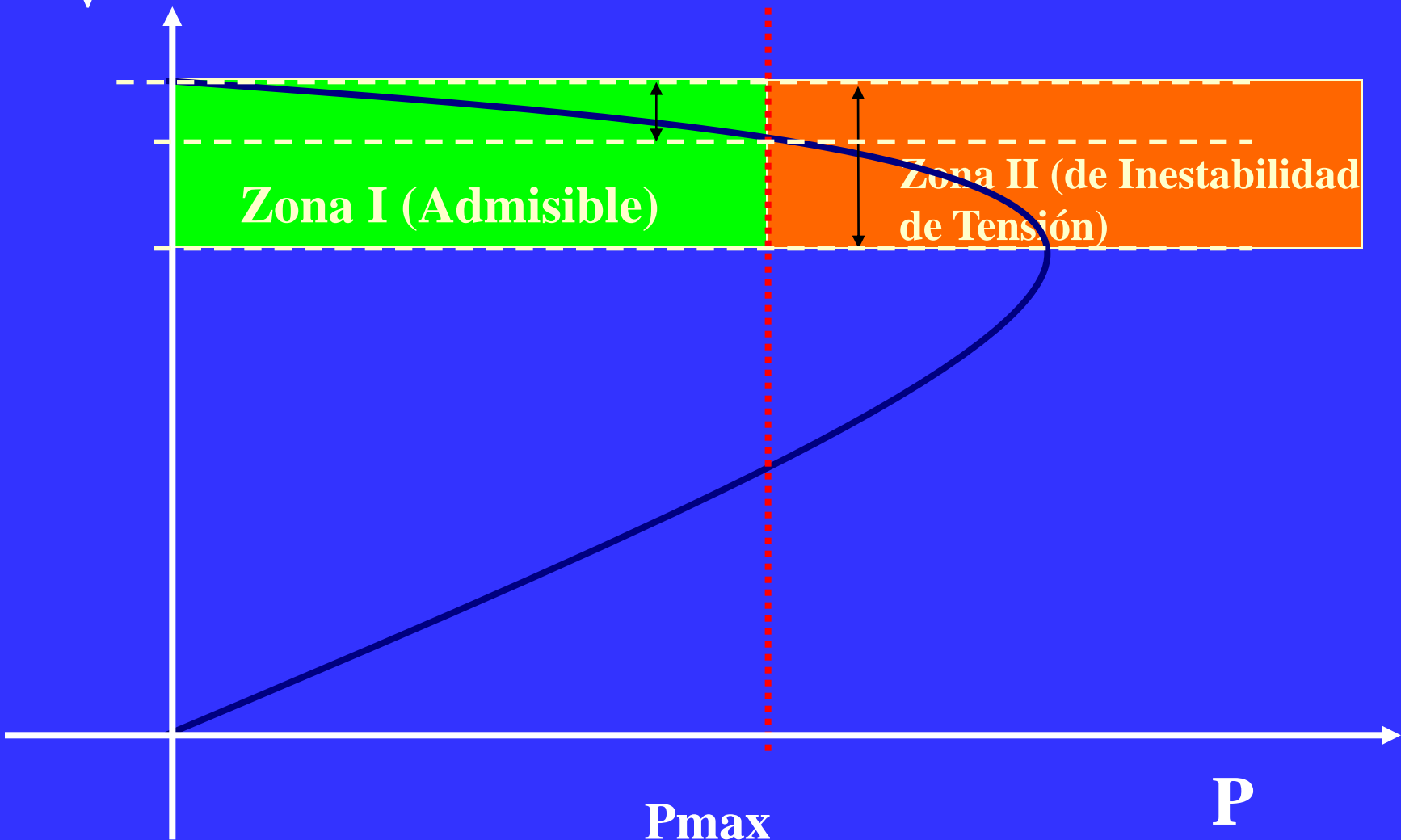
Pérdida del control de tensión

**Control de tensión mediante potencia reactiva inyectada**

**Cuando la tensión no es suficiente la tensión disminuye en áreas mas débiles**



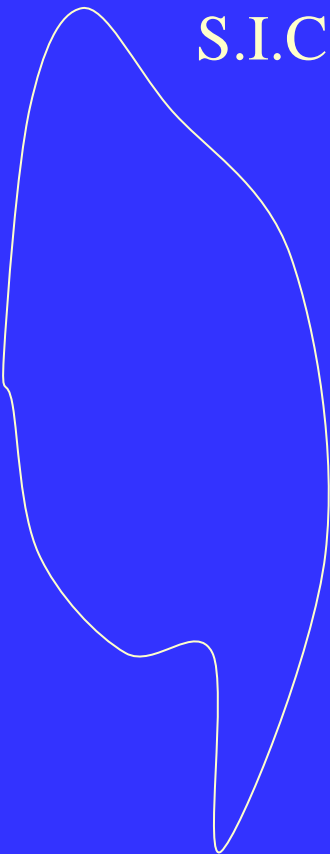
V



Pmax

P

# **En el Sistema Interconectado Central. (S.I.C)**



**Longitud (2200 km)**

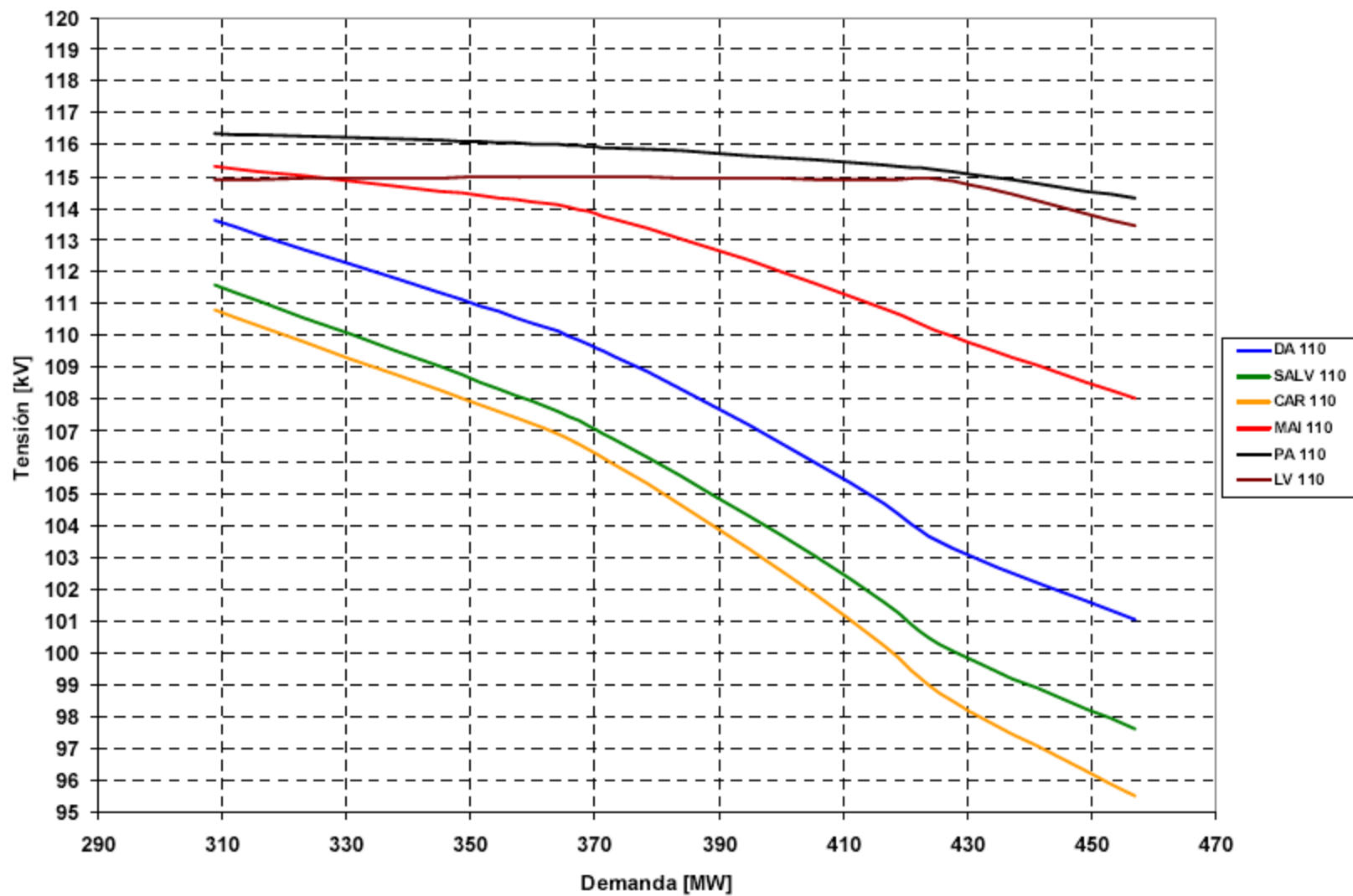
**Líneas cerca de la Plena Capacidad**

**Distancia entre centros de generación  
y consumo**



**Especialmente vulnerable frente a  
colapsos de tensión**

Perfil de Tensión 110 kV vs Demanda Zona Atacama  
Post falla LT 220 kV Maitencillo-Cardones N°1  
Con generación de central Taltal (75 MW)



# Modelación del Sistema Eléctrico

$$\dot{\mathbf{x}} = \mathbf{f}(\mathbf{x}, \mathbf{y}, \mathbf{z}, \mathbf{p}) \quad (1)$$

$$\mathbf{0} = \mathbf{g}(\mathbf{x}, \mathbf{y}, \mathbf{z}, \mathbf{p}) \quad (2)$$

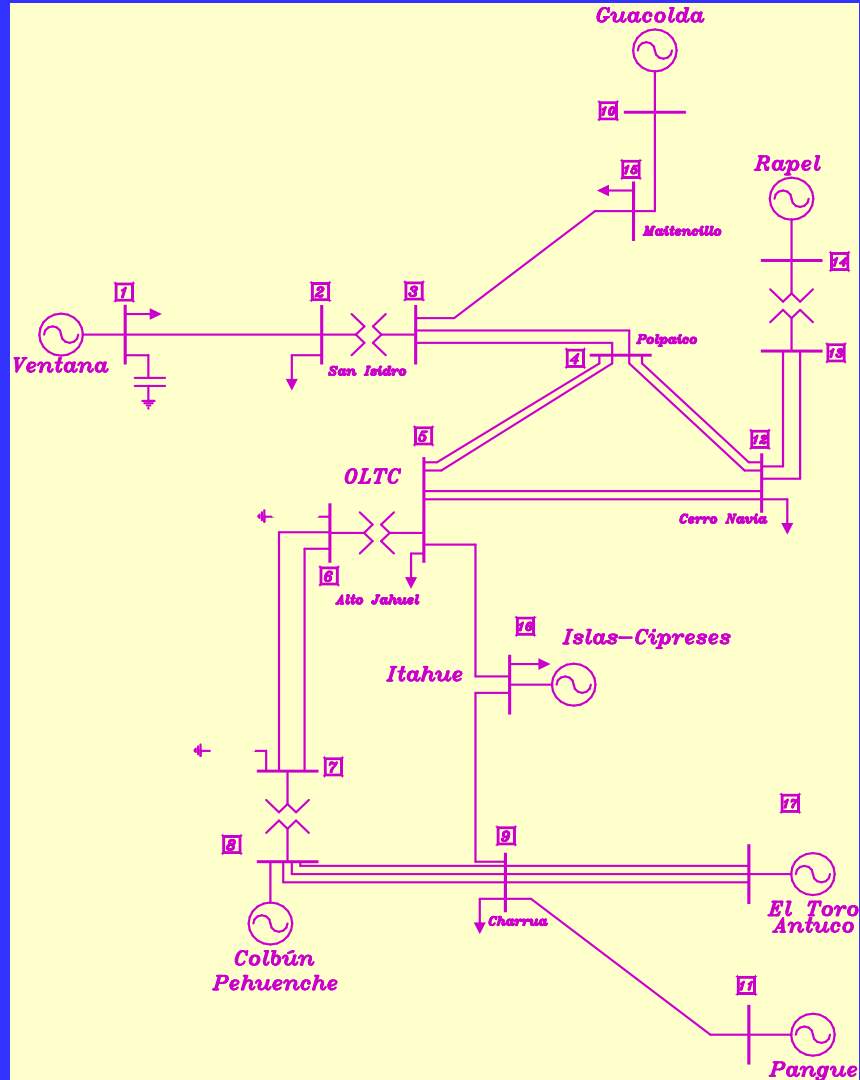
$\mathbf{x}$  es el vector de variables dinámicas ángulo de fase de los generadores, velocidad angular, etc.

$\mathbf{y}$  es el vector de las variables algebraicas.  $\mathbf{z}$  es el vector representa las variables discretas de control.

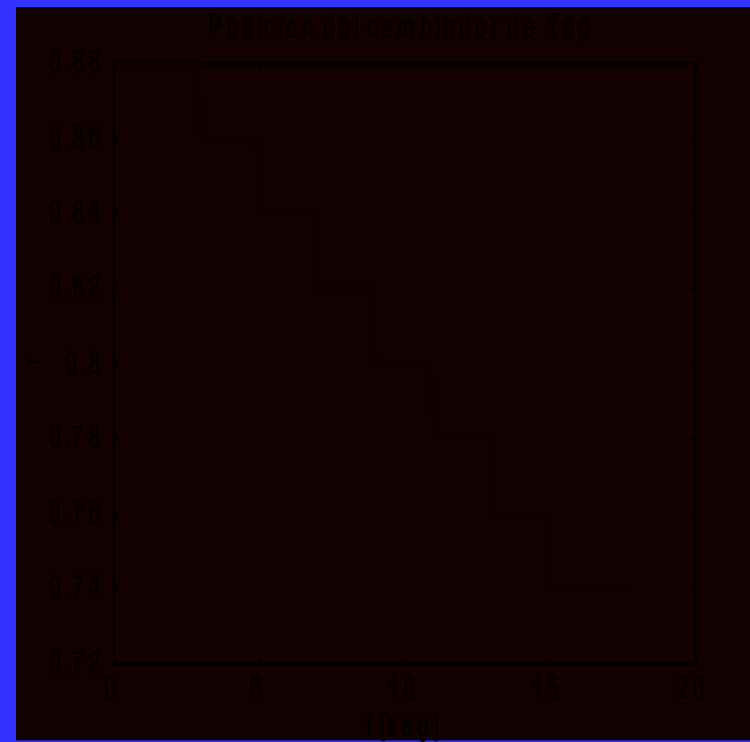
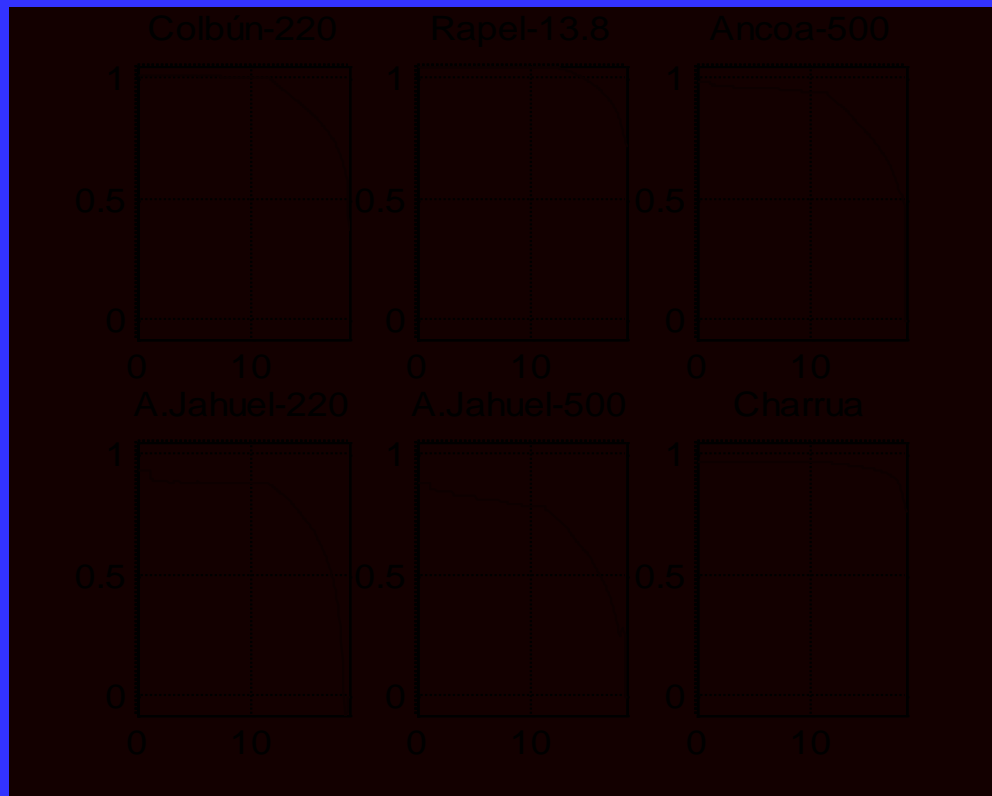
$\mathbf{p}$  es un vector que representa las variables y parámetros fijos del sistema.

# *COLAPSO DE TENSION EN SISTEMA SIC REDUCIDO*

- Principales 6 generadores
- Salida línea de 154 kV Alto Jahuel-Itahue.
- Principales características de un Colapso. Elementos y fases



# *Evolución Perfil de Voltaje*

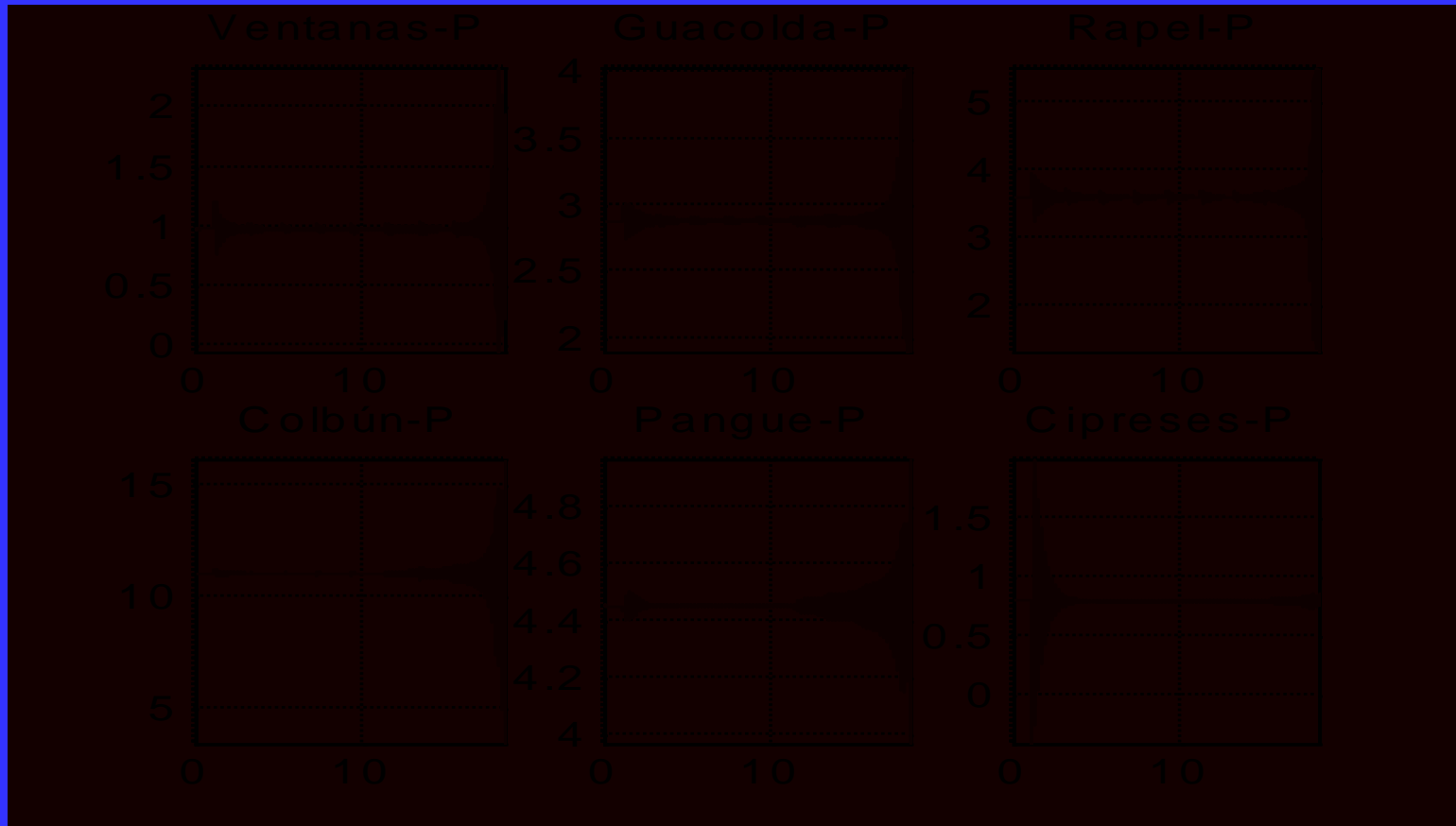


# *Fenómenos asociados al voltaje:*

- Descenso sostenido del voltaje
- Efecto no es homogéneo en la red
- Acción inversa de cambio de tap
- Saturación de Control de excitación



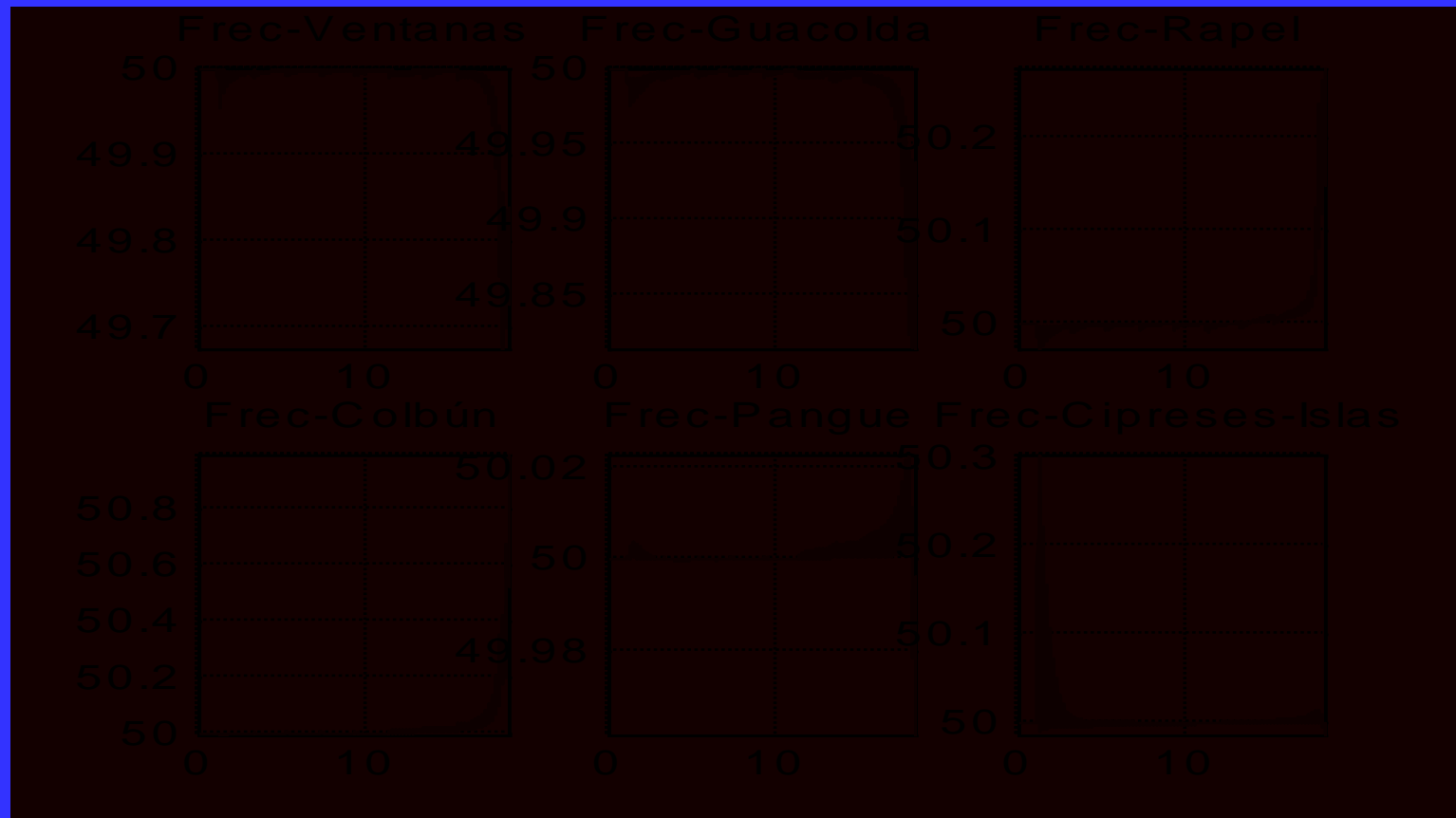
# *Evolución Potencia Activa*



# *Evolución Potencia Reactiva*

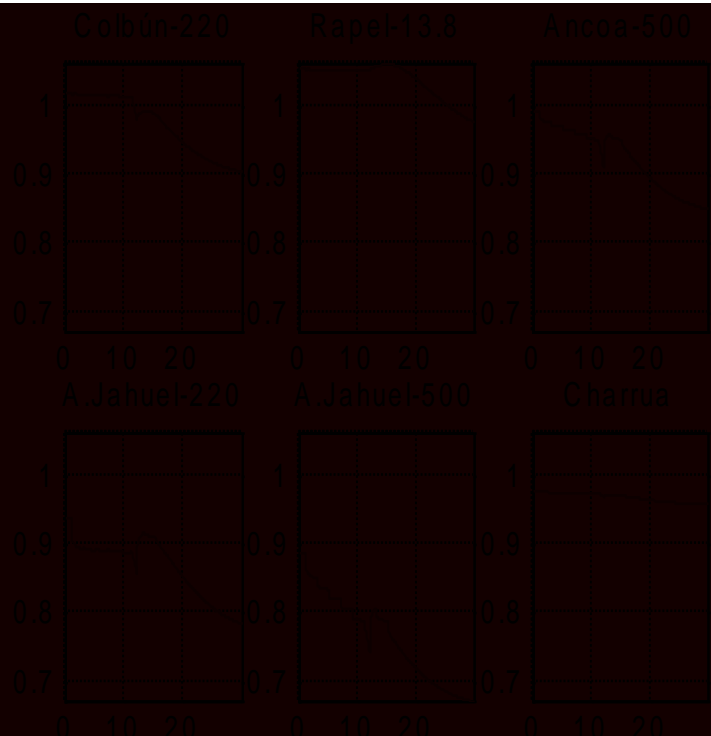


# *Evolución Frecuencia del Sistema*



# *Efecto de Inyección de Reactivos*

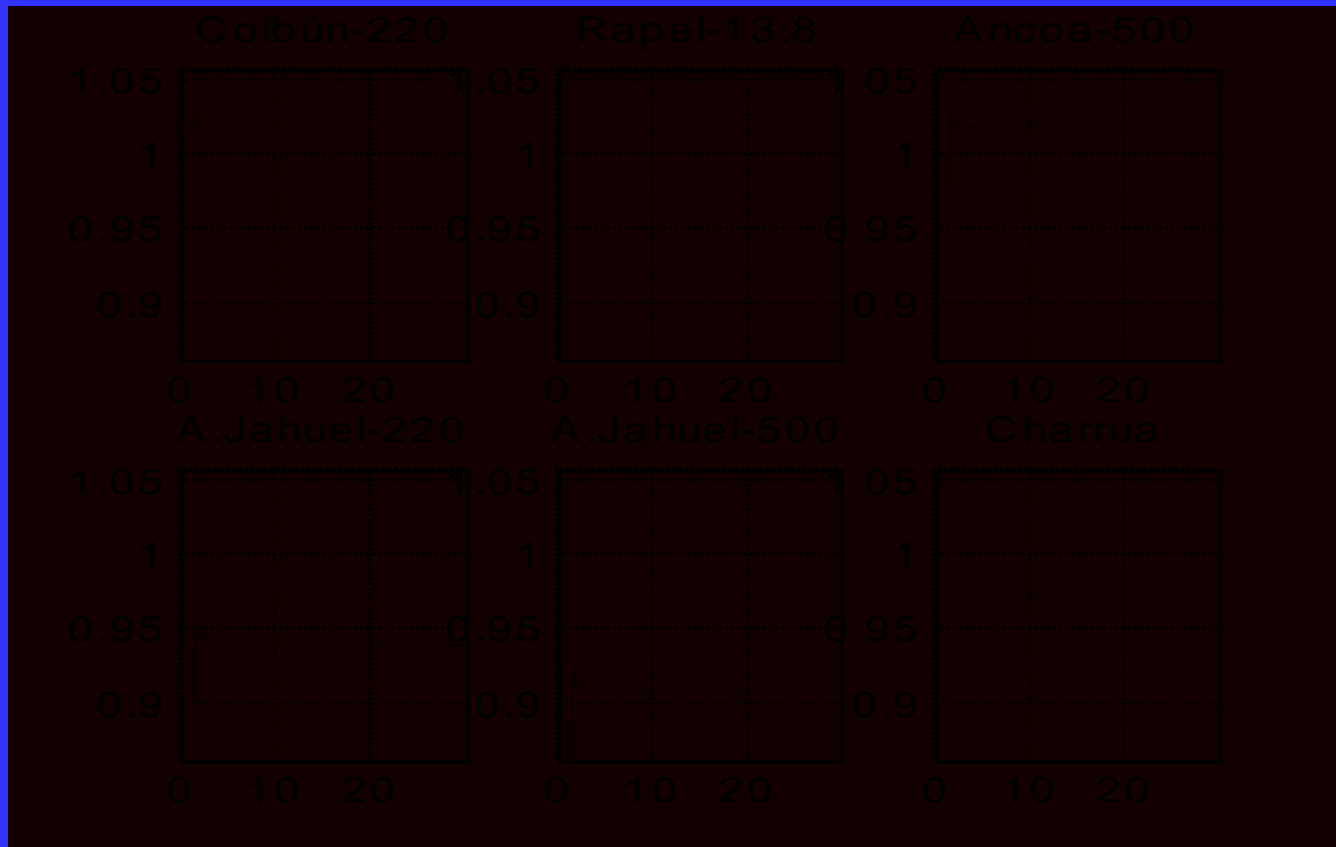
- Después de Saturación



- Antes de Saturación



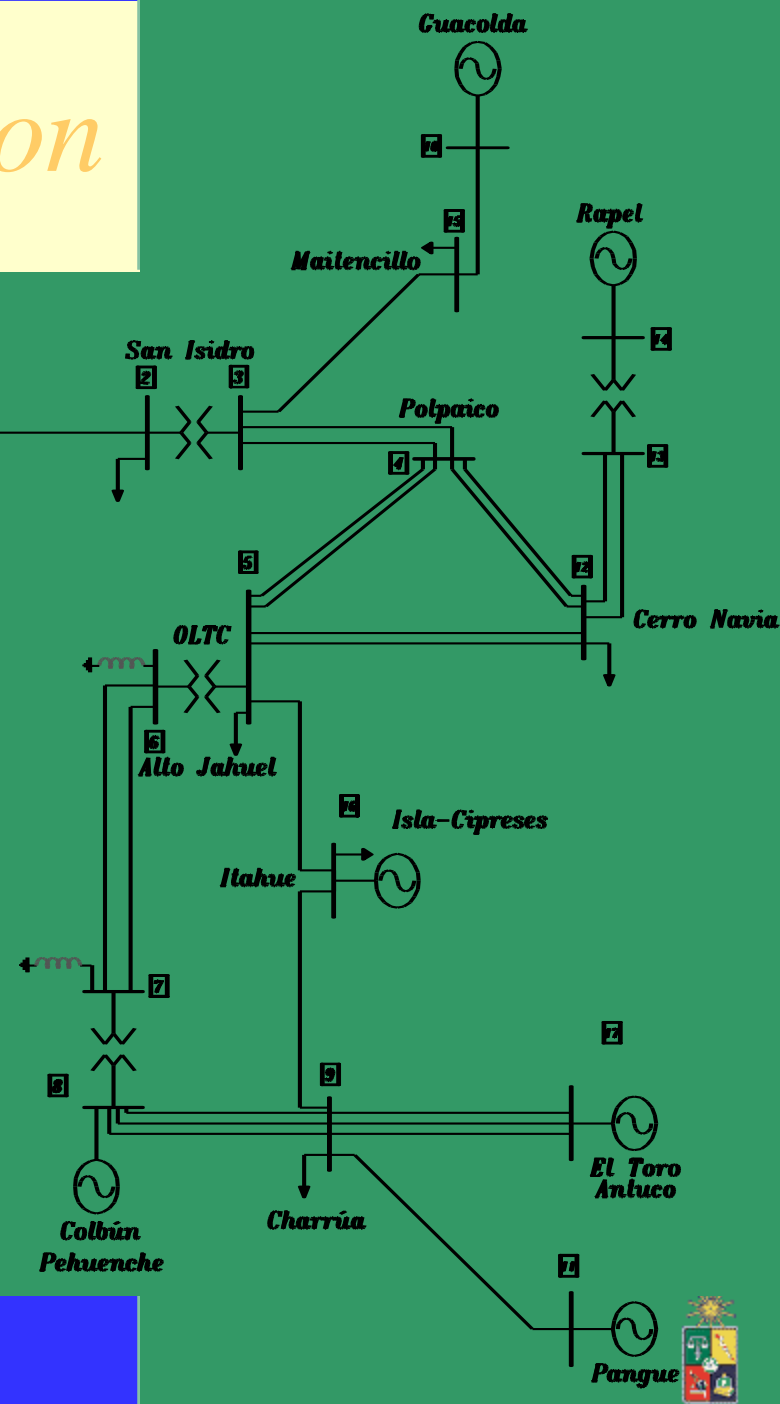
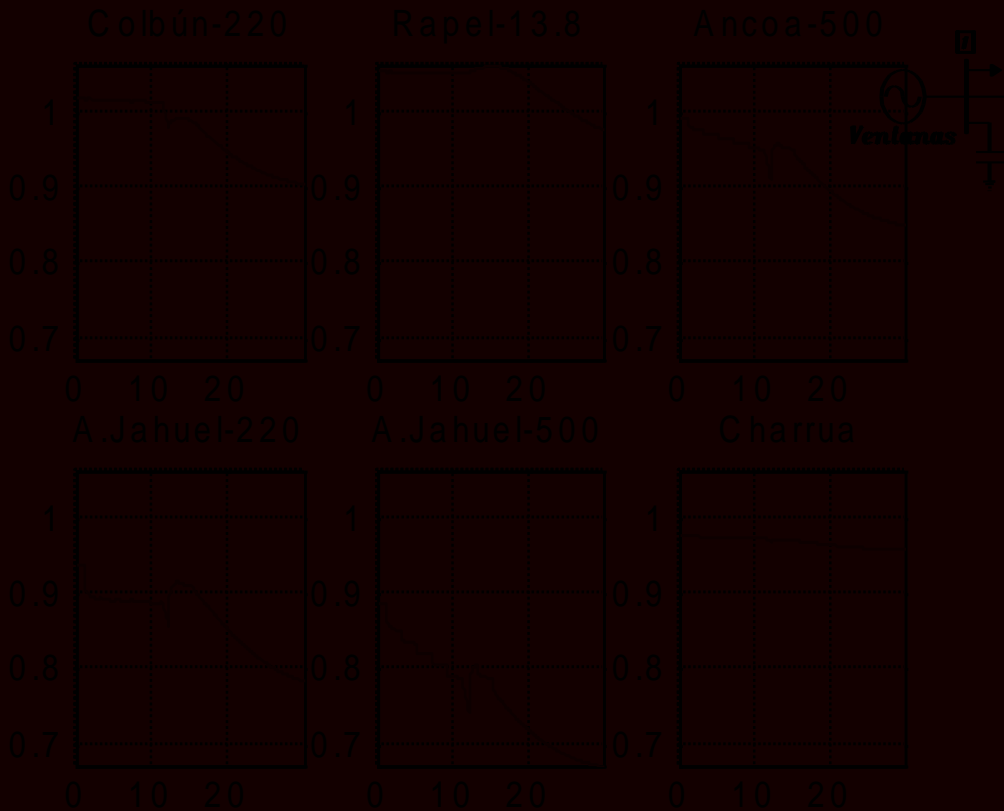
# *Acción de control 0.2 segundos después de la perturbación*



# *COMENTARIOS*

- Escenario exhibe todos los elementos característicos de un colapso de voltaje
- Eficacia de acción de control altamente dependiente de momento de aplicación
- Fenómeno fundamentalmente dinámico y de comportamiento no lineal
- SIC ofrece condicionamiento estructural que lo hace vulnerable a este tipo de disturbios

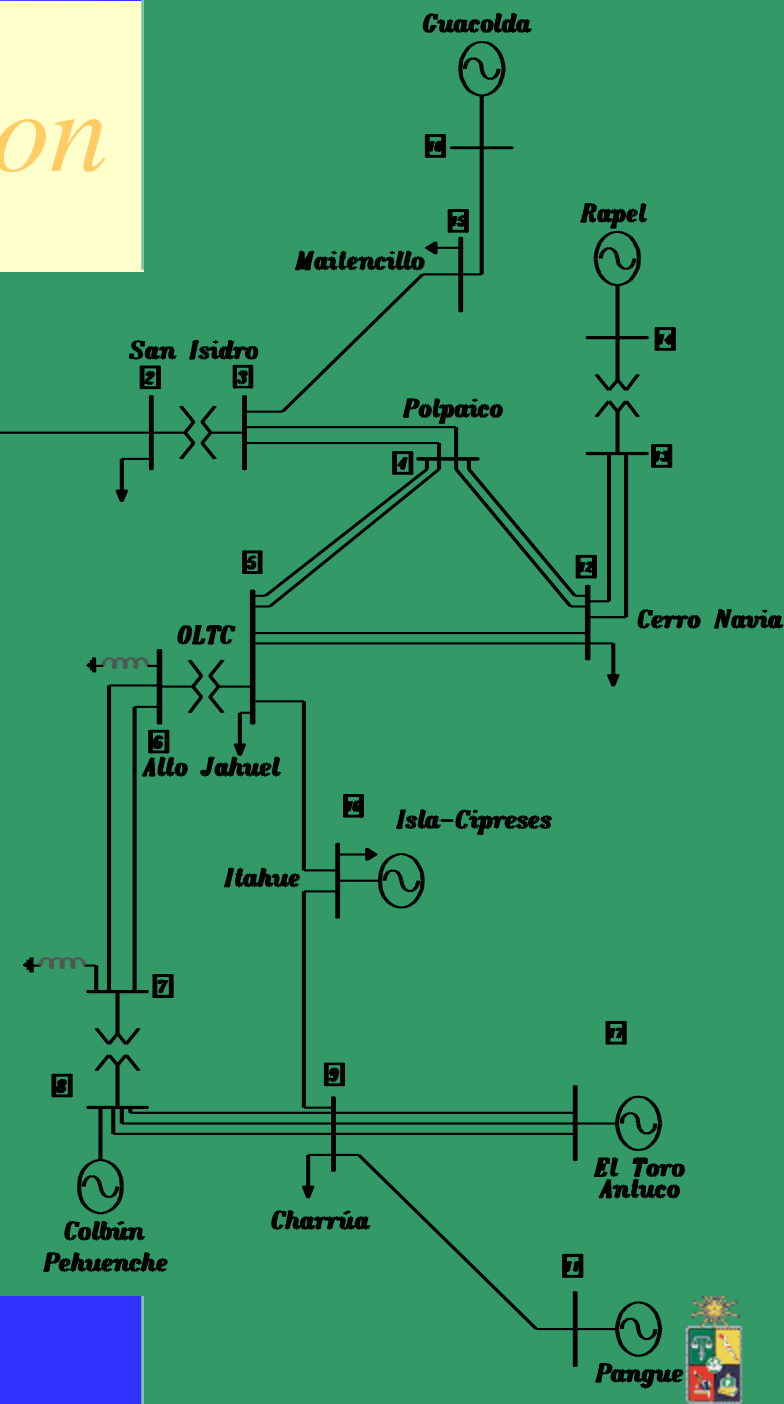
# Shunt Compensation



Post-limits var injection

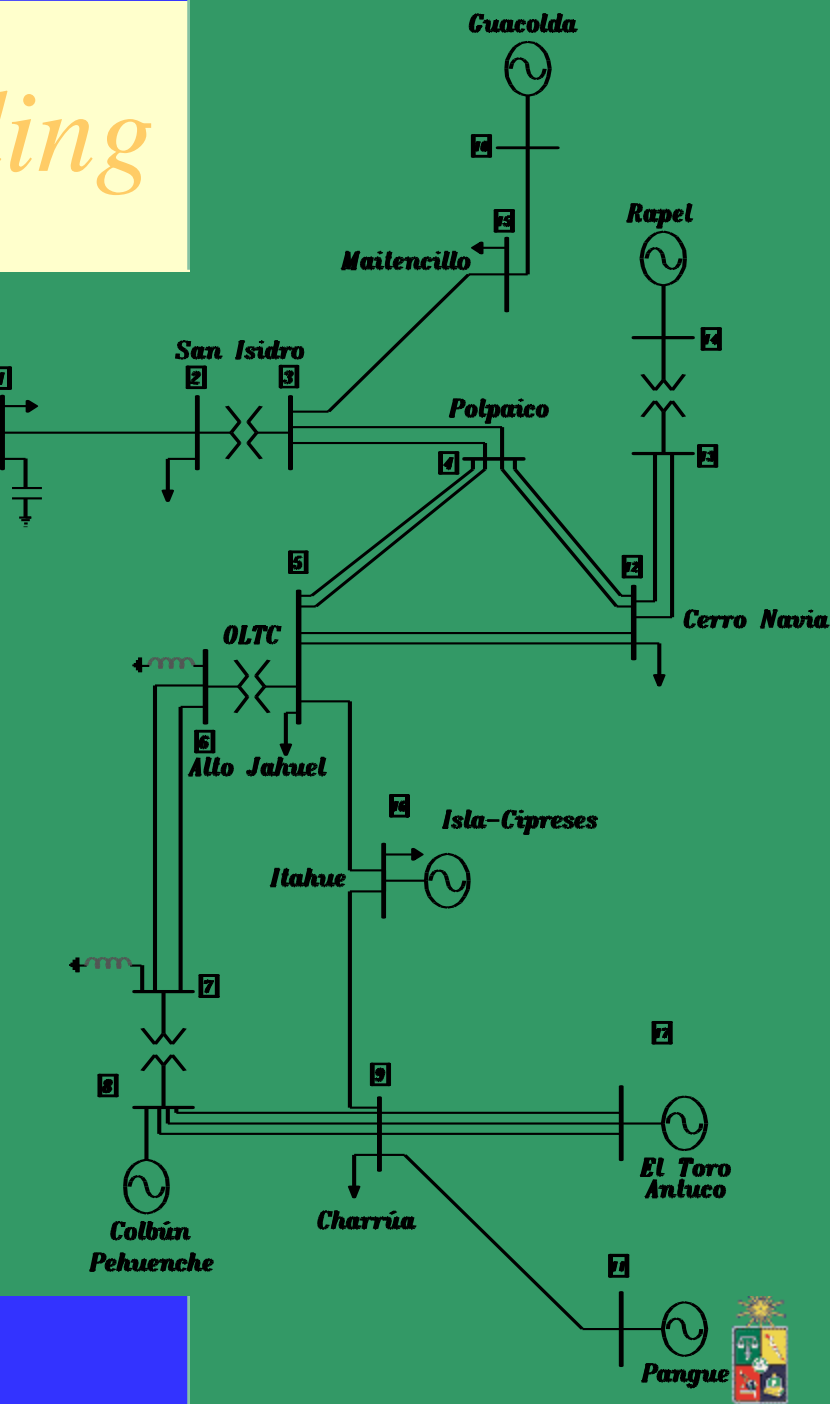
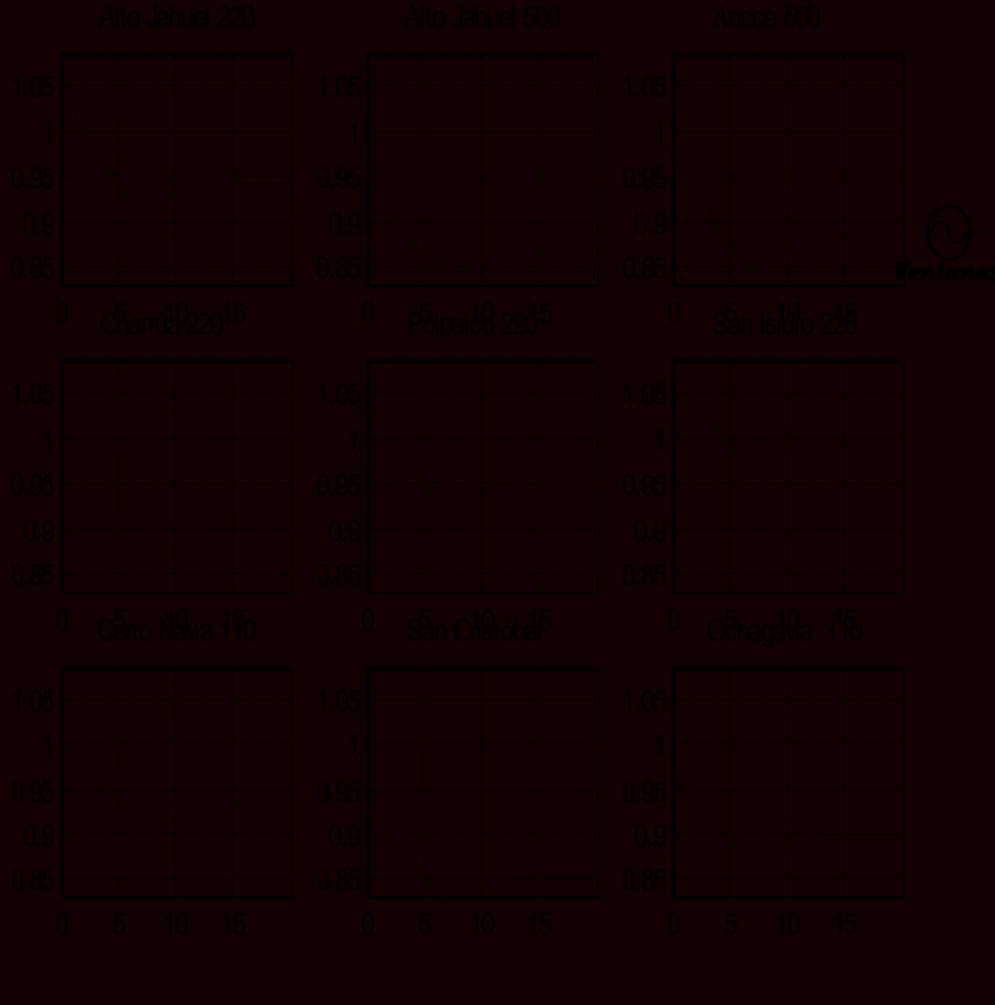


# Shunt Compensation



Pre-limits var injection

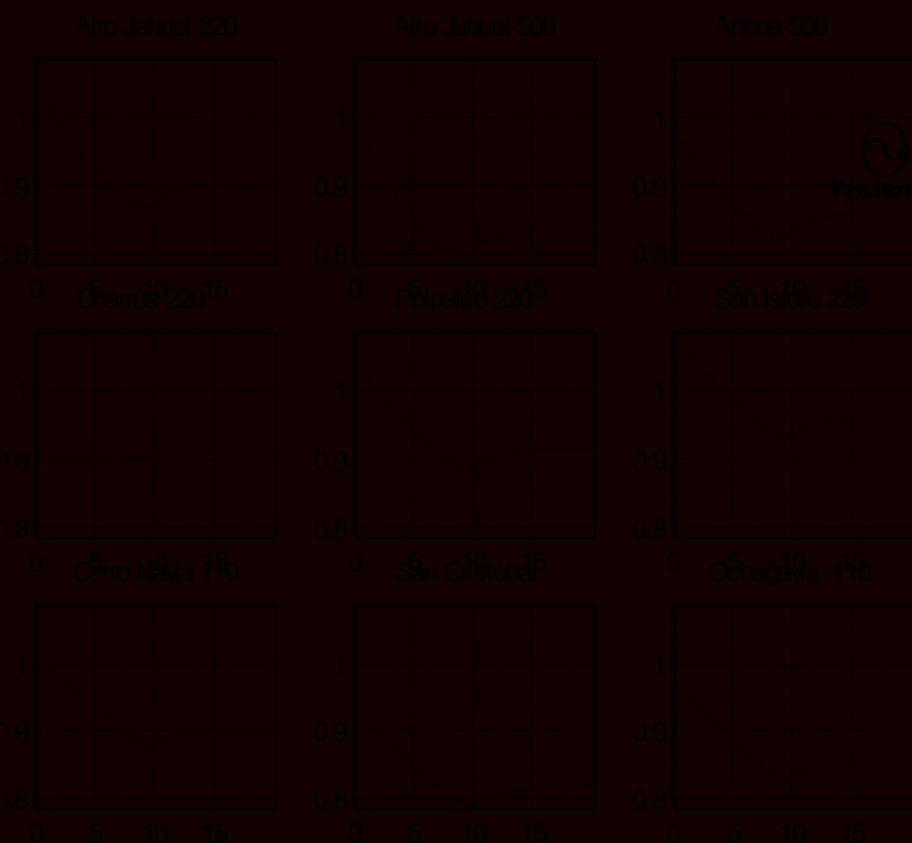
# Load Shedding



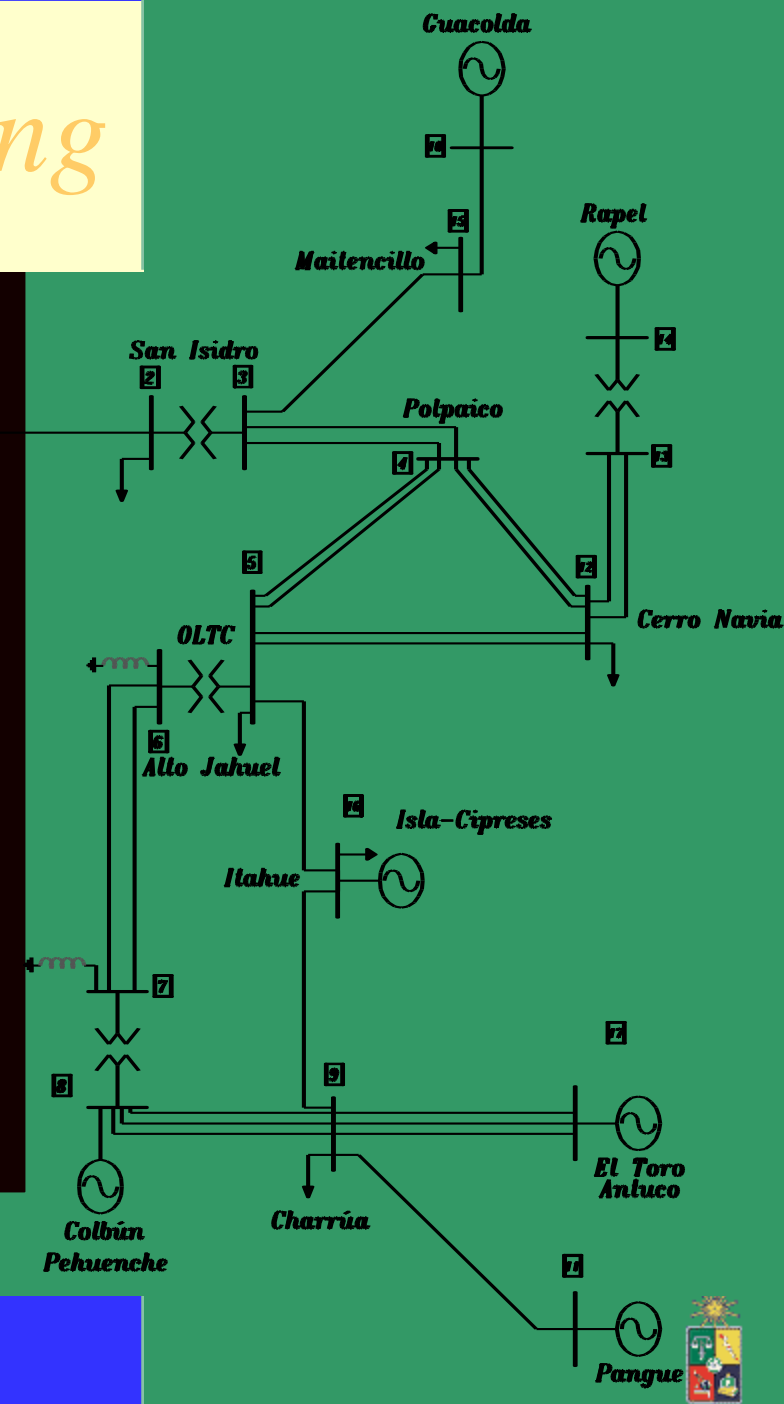
90 s.load shedding intervals



# Load Shedding



180 s.load shedding intervals



# ***CONCLUSIONS***

- Connecting Time is a critical parameter for system control (Var compensation, load shedding)
- TEF technique is an insightful tool for understanding critical connecting times
- Size and timing can be adequately estimated with the concept of Potential Energy Boundary (PEB)
- A Real case was successfully analized.



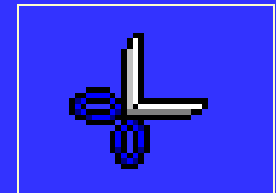
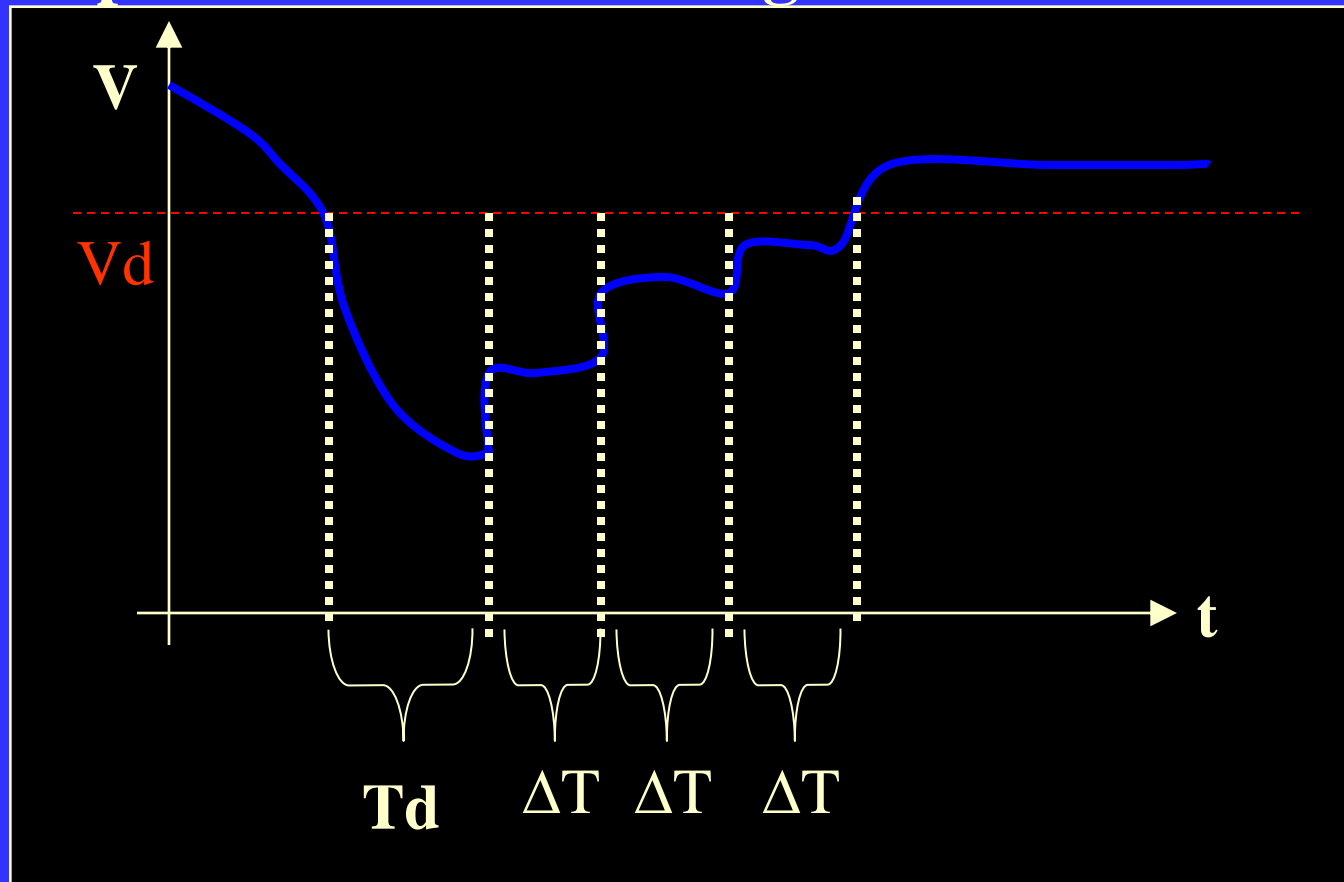
# **1 Introducción**

## **Acciones para controlar el Colapso de Tensión**

- Inyección de Reactivos**
- Variación de Voltaje de Generación**
- Variación de la Razón de Transformación  
manualmente o en línea (OLTC)**
- Desprendimiento de Carga**

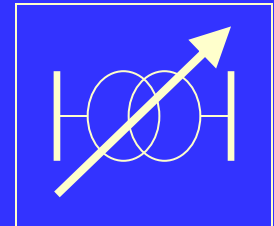
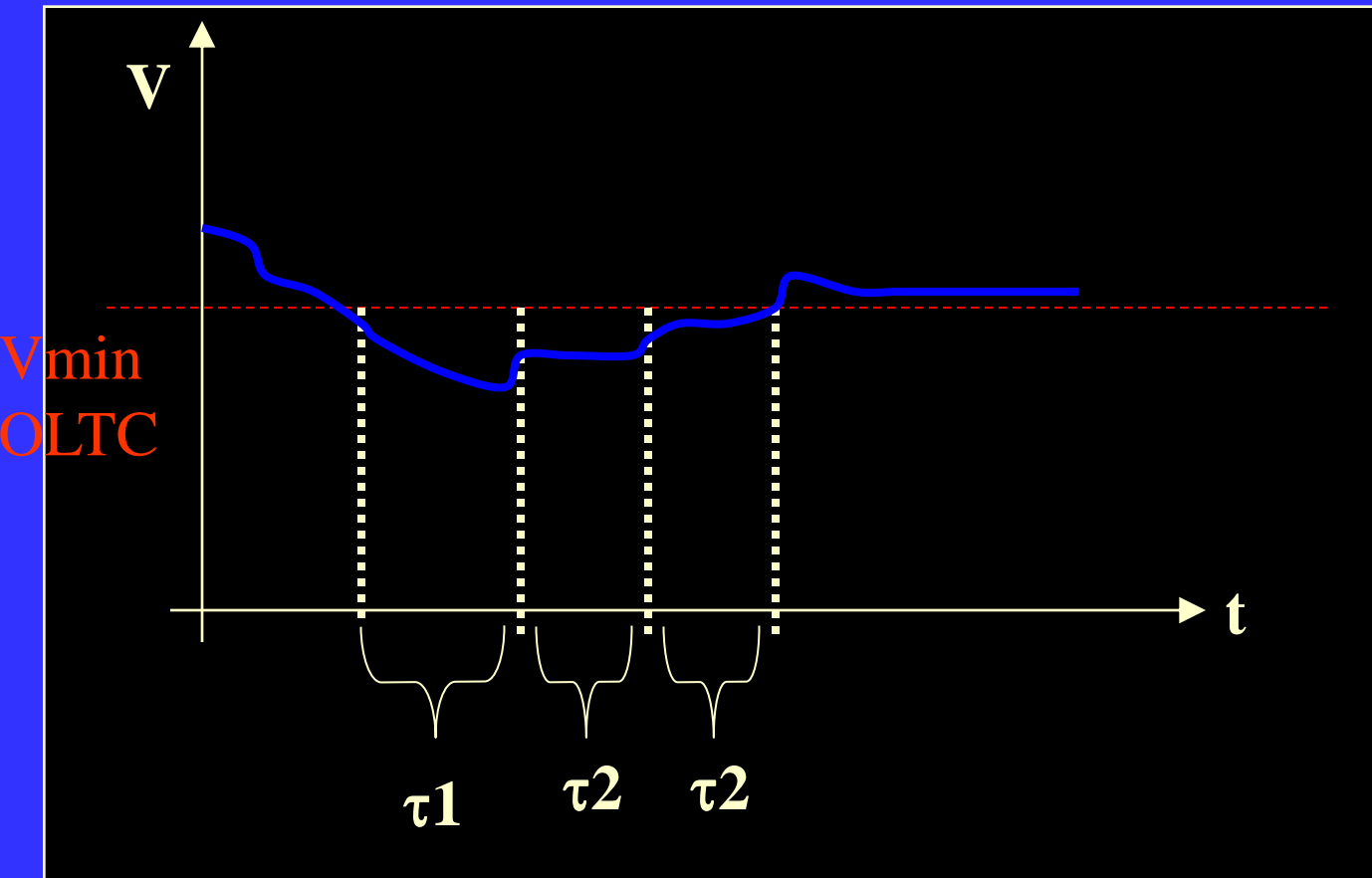
### 3 Acciones de Control

#### Desprendimiento de Carga



### 3 Acciones de Control

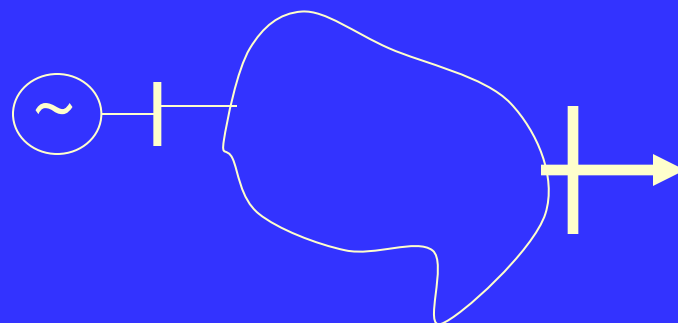
#### Acción de OLTC



## 5 Selección de Acciones de Control

**Barra Critica**

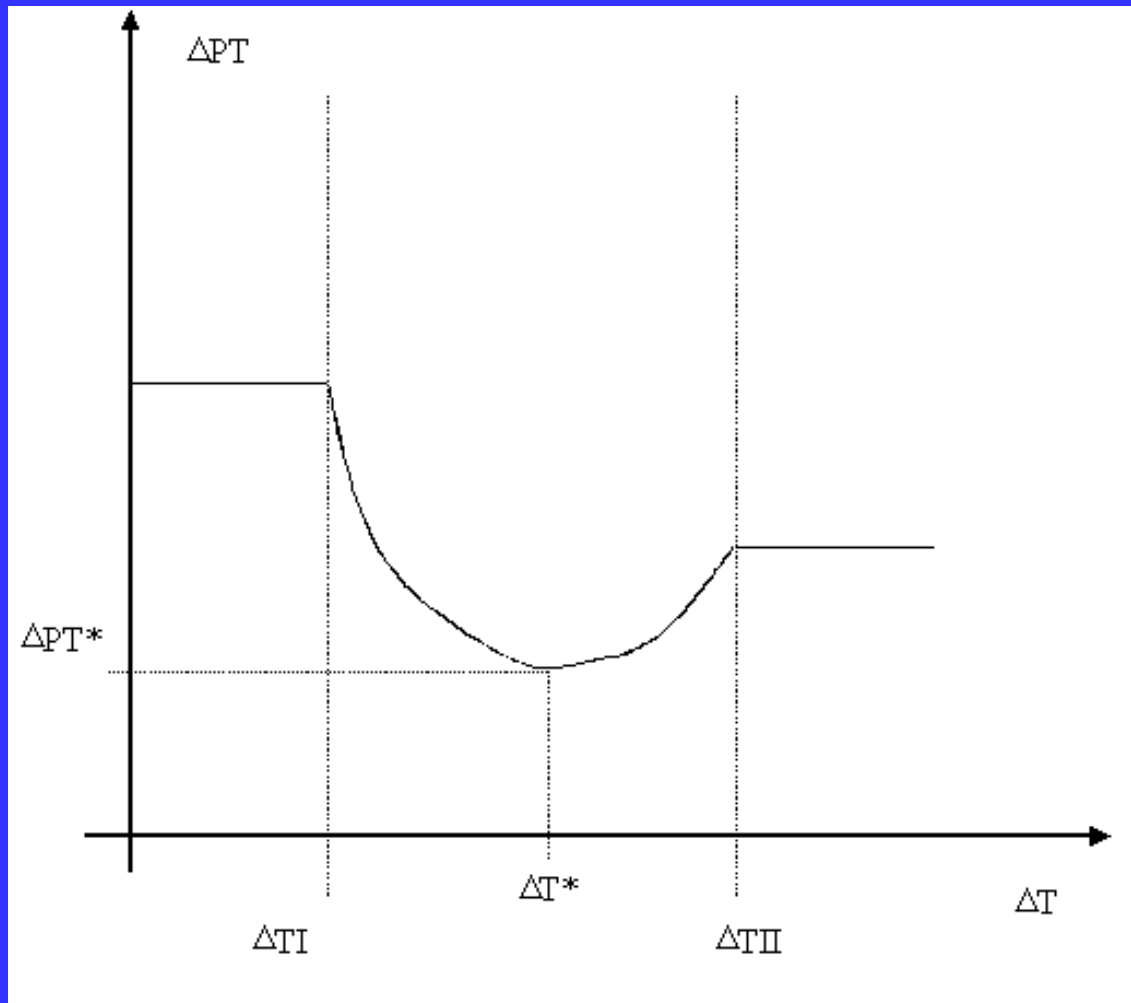
**Generador Critico**



**Tensión final en la barra de carga=**

=      **Tensión Inicial**  
      + **Variación por Contingencia**  
      + **Variación por Desprendimiento de Carga**  
      + **Variación por Accion de OLTC**  
      + **Variación por Saturación del Generador**

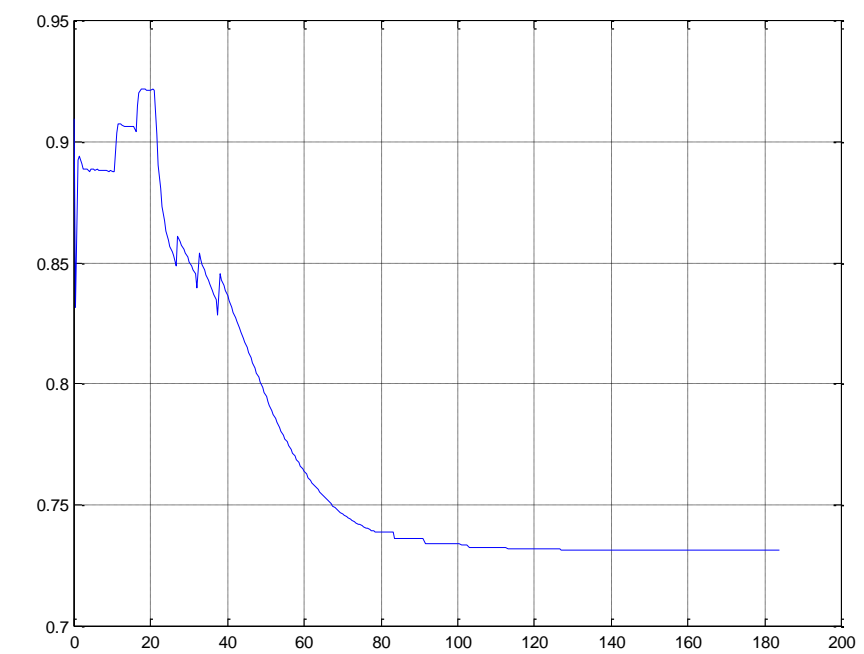
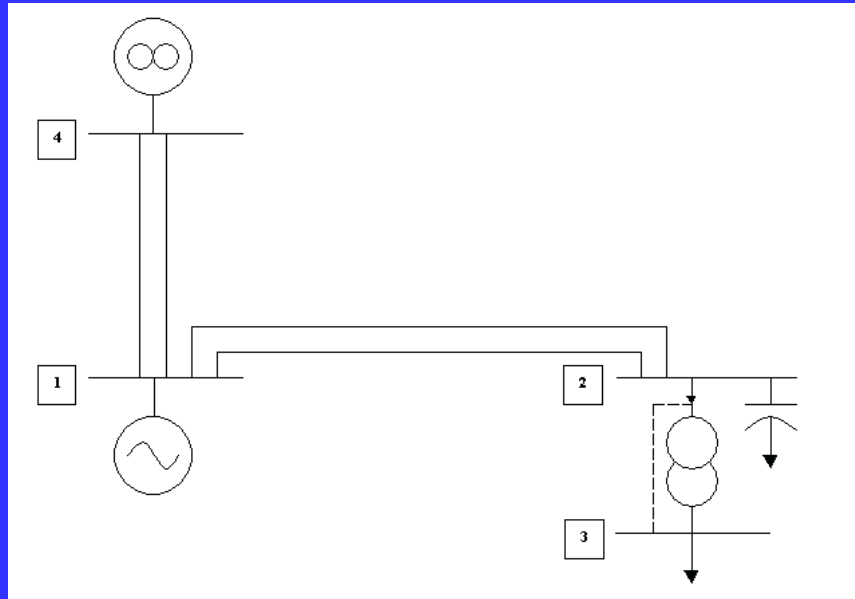
## 6 Forma General del Desprendimiento de Carga



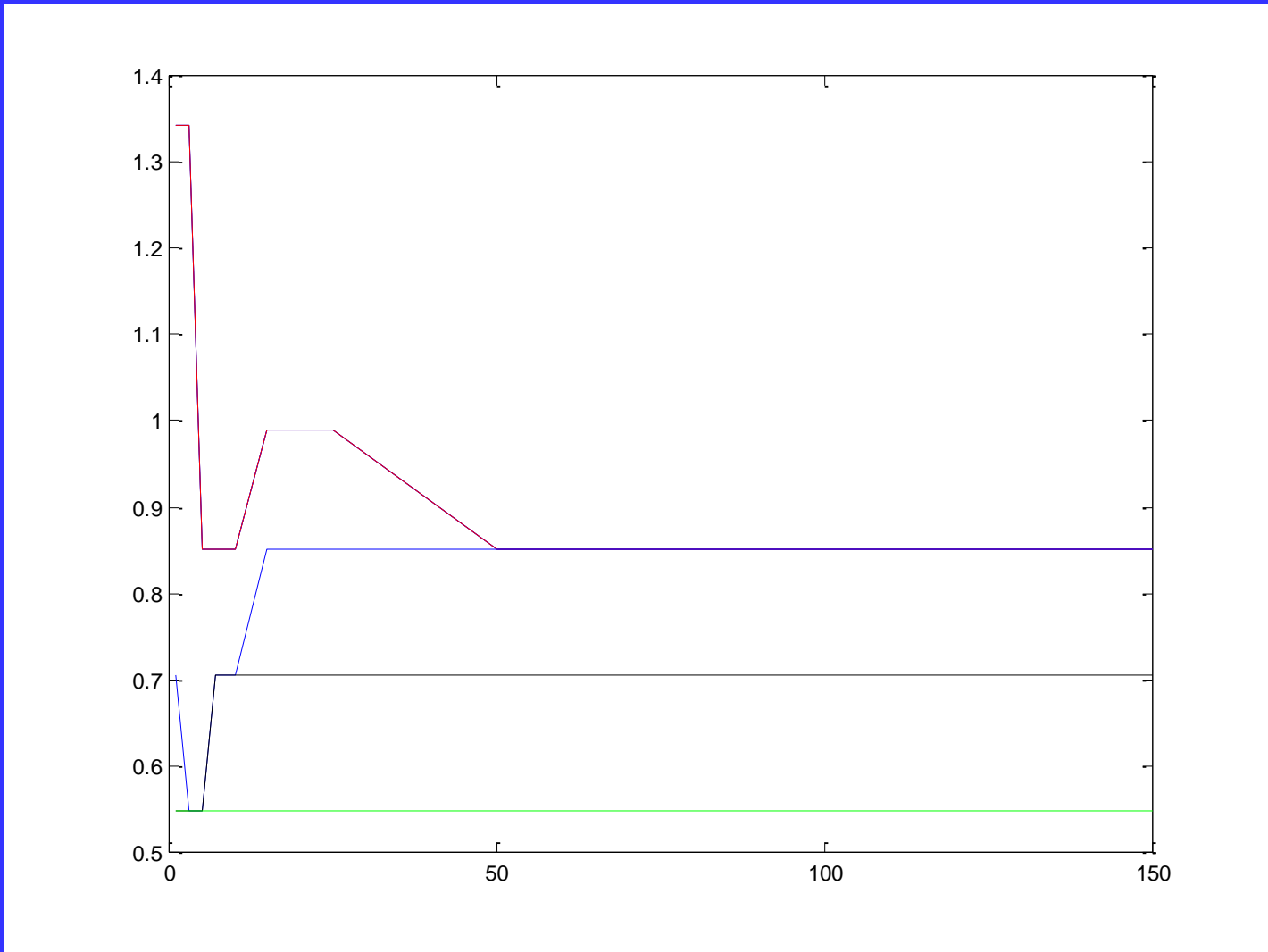
$$\Delta T_I = \text{fun}(Vd, \Delta C, z, p)$$

$$\Delta T_{II} = \text{fun}(Vd, \Delta C, z, p)$$

# 7 Sistema de 4 Barras



## 7 Sistema de 4 Barras



# *CONCLUSIONES*

- METODOLOGIA ENCUENTRA MINIMO DESPRENDIMIENTO DE CARGA*
- APLICACIÓN A SISTEMA DE PRUEBA PRUEBA EXISTENCIA DE DESPRENDIMIENTO MINIMO*
- METODOLOGIA APLICABLE PARA CONTROL DE EMERGENCIA DE COLAPSO DE TENSION*